

كلية العلوم

القسم : الكيمياء

السنة : الرابعة



١



المادة : سطوح و حفر

المحاضرة : الثامنة / نظري /

{{{ A to Z مكتبة }}}}

مكتبة A to Z Facebook Group

كلية العلوم ، كلية الصيدلة ، الهندسة التقنية ، تكنولوجيا المعلومات والاتصالات

يمكنكم طلب المحاضرات برسالة نصية (SMS) أو عبر (What's app-Telegram) على الرقم 0931497960





### 9-3: نظرية امتلاء المسام الدقيقة:

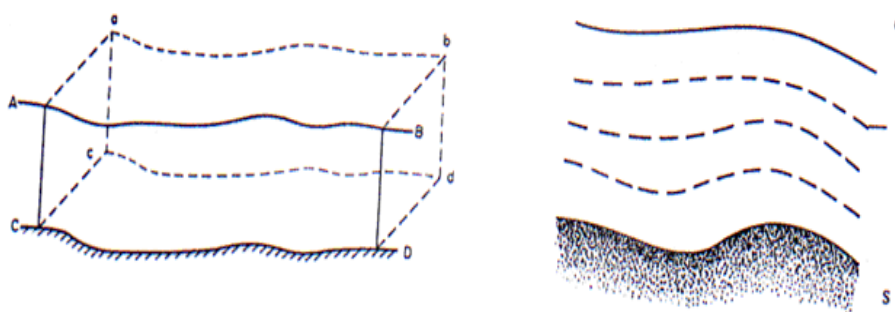
#### Theory of volume filling of micropores

إذا احتوى ماز صلب على مسام شعرية دقيقة والتي تكون قطراتها بضع أبعاد جزيئية فإن سلوكاً معيناً سيسود مقارنة بالمواد الصلبة غير المسامية أو تلك التي تحوي على مسام كبيرة. إذ إن حقول القوى المنشورة من جدران المسام الدقيقة المقابلة تتدخل مؤدية إلى تعاظم حقول الامتزاز ومن ثم ازدياد كمون الامتزاز، وهذا بالطبع يختلف عن الامتزاز على سطح مفتوح والسائل في الأجسام الصلبة غير المسامية أو تلك التي تحوي على مسام واسعة. قد يكون كمون الامتزاز في المسام الدقيقة كبيراً بحيث يؤدي إلى امتلاء هذه المسام بالجزيئات والتي تكون متقاربة كما في السائل، وعلى هذا فإنه من المقنع اعتبار الامتزاز في المواد دقيقة المسام قائماً على أساس نظرية ملء المسام التي وضعها دوبينن ورفاقه (Dubinin et al) معتمدين على نظرية المنحني المميز لبولاني.

### 1-9-3: نظرية كمون بولاني للامتزاز:

#### Polanyi Potential Theory of Adsorption:

استنتاج بولاني عام 1918 نظرية ترموديناميكية لامتزاز الغاز على الأجسام الصلبة. تقوم نظريته على الفكرة الأساسية التالية: "هناك مجال قوة حول الصلب والذي يؤثر على جزيئات المادة الممتدة، وهذه القوى ذات مجال طويل والذي يتناقص مع المسافة من السطح"، وتبعاً لهذه النظرية يكون فضاء الامتزاز (adsorption space) بالقرب من سطح الصلب تميز بسلسلة من السطوح متساوية الكثافة، كما في الشكل (3-13).



الشكل (3-13) الطبقية الممتدة وفقاً لبولاني.

يُعرف كمون الامتزاز ،  $\epsilon$ ، بأنه العمل الذي تقوم به قوى الامتزاز لنقل جزيئه ممتزة من عمق الغاز إلى نقطة في الطور السطحي. وبما أنّ قوى التجاذب تتناقص مع المسافة من السطح فإنّ  $\epsilon$  يتناقص أيضاً وتكون قيمته العظمى عند سطح الصلب. إذا كان حجم المادة الممتزة المحصور بين سطح الصلب والسطح متساوية الكمون  $\epsilon_1$  و  $\epsilon_2$  و  $\epsilon_3$  ... الخ هو  $V_1$  و  $V_2$  و  $V_3$ ...الخ، كما يتضح من الشكل (3-14)، حيث  $V_i$  تمثل حجم المادة الممتزة المحصور بين سطح الصلب  $CDcd$  والسطح متساوي الكمون  $ABab$ ، فإنه من الطبيعي أنه كلما ازداد  $V_i$  تناقص  $\epsilon_i$ . يعبر عن العلاقة بين  $\epsilon_i$  و  $V_i$  بالعلاقة التالية:

$$\epsilon_i = f(V_i) \quad \text{أو} \quad V_i = f(\epsilon_i) \quad (54-3)$$

فرض بولاني أنّ  $\epsilon_i$  مستقلة عن درجة الحرارة، ومن أجل جملة معينة فإنّ المنحني الممثل بالعلاقة السابقة يدعى بالمنحني المميز (characteristic curve)، أي أنه من أجل جملة معينة صلب/بخار فإنّ جميع منحنيات الامتزاز سوف تعطي التابع المميز نفسه عند درجات حرارة مختلفة. عند حدوث امتزاز غاز عند درجة حرارة أقل من درجته الحرجة فإنّ الغشاوة الممتزة تكون بشكل سائل وغير قابلة للانضغاط، فيما أنّ  $\epsilon_i$  هو العمل اللازم لضغط الغاز عند درجة ثابتة من الضغط  $P$  إلى ضغط البخار المشبع  $P_s$  للسائل الممتز عند الدرجة ذاتها فإنّ كمون الامتزاز من أجل مول يكون عند السطح متساوي الكمون  $i$  ممثلاً بالعلاقة التالية:

$$A_i = \epsilon_i L = RT \ln P_s/P \quad (55-3)$$

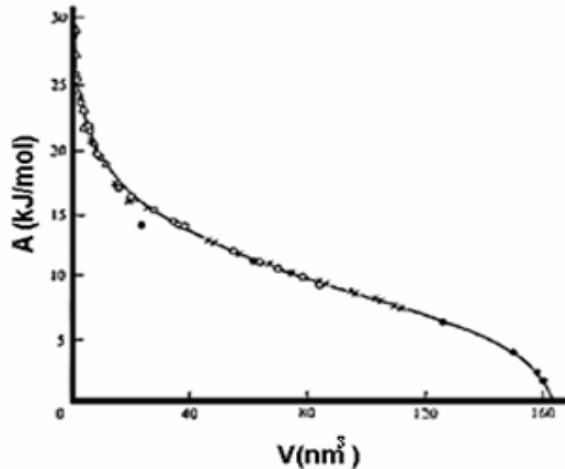
ويكون حجم السائل الممتز  $V_i$  هو :

$$V_i = x / \rho \quad (56-3)$$

حيث تمثل  $x$  كتلة المادة الممتزة عند الضغط التوازي  $P$  وتقدر بالغرام و  $\rho$  كثافة المادة الممتزة السائلة عند درجة حرارة الامتزاز  $T$  بوحدة  $g/m^3$ .

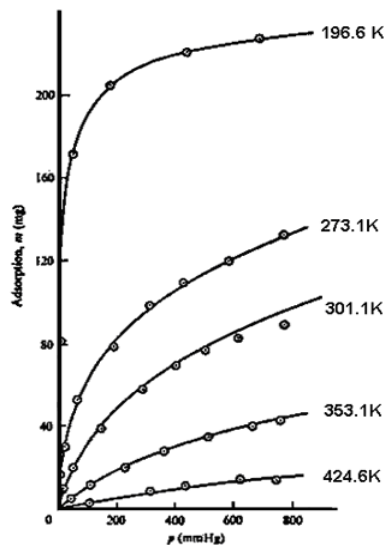
يمكن من العلاقة (55-3) حساب  $A_i$  ومن العلاقة (56-3) حساب  $V_i$  المموافقة، ومن ثم نرسم  $A$  بدلالة  $V$  فينتج المنحني المميز، كما في الشكل (3-15) الذي يمثل المنحني المميز لغاز الفحم الممتز على الفحم الحيواني عند درجات مختلفة، ونلاحظ من هذا الشكل أنّ جميع النقاط عند درجات الحرارة المختلفة تقع على المنحني ذاته.

يكمن نجاح هذه النظرية في قدرتها على التنبؤ بمناهي الامتزاز عند أية درجة من النتائج التي يمكن الحصول عليها عند درجة حرارة واحدة، ويتم ذلك بأخذ قيم  $A_i$  ونوجد  $x$  و  $P$  من العلاقات (55-3) و (56-3) وذلك باستخدام القيم المناسبة لكل من  $\rho$  و  $P_s$ . ونسوق على سبيل المثال المناهي الامتزازية المعينة من المنحني المميز عند الدرجة 273.1K لامتزاز  $CO_2$  على الفحم والممثلة في الشكل (3-16)، ويلاحظ تطابقها الجيد مع القيم التجريبية.



الشكل (3-15) يُبيّن المنحني المميز لامتاز  $\text{CO}_2$  على الفحم الحيواني.

• 196; x 273.1; ○ 303.1; □ 424.6K



الشكل (3-16) يُبيّن مناحي امتراز  $\text{CO}_2$  على الفحم (ال نقاط تمثل البيانات التجريبية

والخطوط المنحنية المحسوبة من نظرية الكمون عند الدرجة 273.1K).

استخدمت نظرية كمون بولاني لدراسة الأجسام الصلبة ذات المسامية الدقيقة من قبل دوبين ورفاقه لحساب حجم المسام الدقيقة ومن قبل كاكنر (Kaganer) لحساب المساحة السطحية النوعية.

### 2-9-3: تحديد حجم المسام الدقيقة:

طور دوبين ورفاقه نظرية بولاني من أجل إيجاد علاقة تُمكّن من تحديد المسامية الدقيقة للأجسام الصلبة وذلك كما يلي: يكون كمون الامتراز الناتج عن قوى التشتت والقوى القطبية بين الصلب وجزيئات البخار الممتز مستقلاً عن درجة الحرارة ولكنه يتغير تبعاً لطبيعة الصلب والمادة الممتزة، حيث إنّ قوى التشتت والقوى القطبية تتعلق باستقطابية الجزيئات الممتزة  $\alpha$ ، فإنه عندما

يكون لدينا مادتان ممتزتان تملآن الحجم ذاته  $V$  من فضاء الامتراز على صلب معين فإن نسبة الكمونات الامترازية بعضها إلى بعض تكون ثابتة مهما كانت قيمة  $V$ ، أي إنّ:

$$A_1/A_2 = \alpha_1/\alpha_2 = \beta$$

سمى دوبين الثابت  $\beta$  بمعامل الإلفة (affinity coefficient) وهو مستقل عن درجة الحرارة وعن المسامية ويتميز قابلية امتراز بخار معين على ما ز معين بالنسبة لبخار قياسي، ولقد اختار دوبين البنزن كبخار قياسي ( $\beta=1$ ). إذا كانت المادة الممتزة 2 هي المادة القياسية فإن العلاقة السابقة

تؤول إلى ما يلي:

$$\frac{A}{A_o} = \frac{\alpha}{\alpha_o} = \beta \Rightarrow A_o = \frac{A}{\beta} \quad (57-3)$$

وحيث إن المنحني المميز للمادة القياسية يعطى بالعلاقة  $(e)^{-f} = V$  فإن العلاقة (57-3) تؤول إلى الشكل التالي:

$$V = f(A/\beta) \quad (58-3)$$

فرض دوبين أن حجم فضاء الامتراز يمكن التعبير عنه كتابع غوصي (Gauscian)، كما في الشكل (3-14)، لكون الامتراز الموافق، أي من أجل البخار القياسي يكون:

$$V = V_o \exp[-(A_o/E_o)] \quad (59-3)$$

حيث تمثل  $V_o$  الحجم الكلي لجميع المسام الدقيقة و  $E_o$  الطاقة المميزة للامتزار وهي تابعة للبنية المسامية للماز، وبتعويض  $A_o$  وفق العلاقة (57-3) ينتج لدينا:

$$V = V_o \exp[-(A/\beta E_o)] \quad (60-3)$$

وبأخذ اللوغاريتم النبيري (الطبيعي) نحصل على ما يلي:

$$\ln V = \ln V_o - (A/\beta E_o) \quad (61-3)$$

وبالتعويض عن  $A$  وفق العلاقة (55-3) والتحويل إلى اللوغاريتم العشري ينتج لدينا:

$$\log V = \log V_o - 2.303(RT/\beta E_o)^2 (\log P_o/P)^2 = \log V_o - D \log^2(P_o/P) \quad (62-3)$$

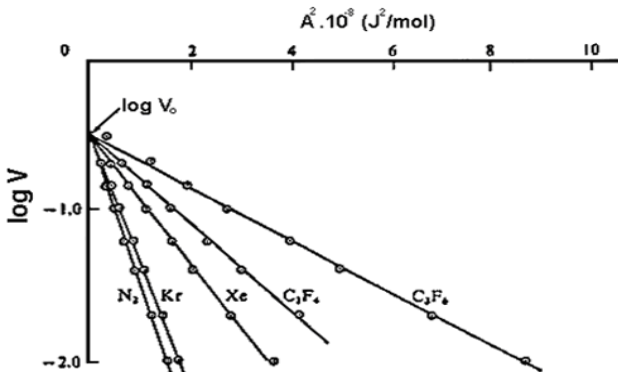
المعروف بعلاقة دوبين - رادوشكيفتش (Radushkevich) أو اختصاراً علاقة DR ويُعرف الثابت  $D$  بثابت دوبين ويعطى بالعلاقة التالية:

$$D = 2.303(RT/\beta E_o)^2 \quad (63-3)$$

تبين علاقة DR أنه إذا رسمنا  $\log^2(P_o/P)$  بدلالة  $\log V$  فإنه ينتج خط مستقيم ميله  $-D$ . وتقاطعه  $\log V_o$  ومن التقاطع نحسب  $V_o$  حجم المسام الدقيقة. وجد دوبين من أجل امتراز النتروجين والبنزن والهيدروكربونات المشبعة وغيرها أن العلاقة (62-3) محققة في المجال  $1 \times 10^{-5} \leq P/P_o \leq 0.2$  وذلك من أجل الأجسام الصلبة ذات المسامية الدقيقة. إذا كنا نُعين الحجم الممتز  $V$  بواحدة ccSTP/g عند الضغوط النسبية المختلفة فإننا نرسم  $\log^2(P_o/P)$  بدلالة  $\log V$  ونوجد

التقاطع  $\log V_0$  ومنه نحسب  $V_0$  ثم نحوال الحجم  $V_0$  إلى واحدة  $\text{ml.l/g}$  بضربيه ثابت، وفي حالة امتراز النتروجين عند الدرجة 77K نضريه بالعدد 0.001547.

يمكن الحصول على  $V_0$  من العلاقة (61-3) وذلك برسم  $\log V$  بدلالة  $A^2$  ويكون التقاطع هو  $\log V_0$  ، كما يوضح الشكل (17-3) الذي يمثل امتراز  $N_2$  و  $Kr$  و  $Xe$  و  $C_2F_4$  و  $C_3F_6$  على الفحم الفعال.



الشكل (17-3) يُبيّن رسومات العلاقة (61-3) لغازات مختلفة على الفحم الفعال.

عند استخدام النتروجين عند الدرجة 77K يكون  $\beta = 0.34$  و تؤول العلاقة (63-3) إلى الشكل التالي:

$$D = 8.1465/E_0^2 \quad E_0 = 2.8574/D^{1/2} \quad (64-3) \Rightarrow$$

إذا استخدمنا مواد ممتزة مختلفة الحجم بشكل كبير كما في البنزن عند الدرجة 298K (حجمها  $148\text{\AA}^3$ ) والنتروجين عند الدرجة 77K (حجمها  $58\text{\AA}^3$ ) فإنه يمكن إيجاد المسام التي تكون كبيرة بالنسبة للنتروجين وصغيرة بالنسبة للبنزن وذلك برسم المنحنيات وفقاً لعلاقة DR وحساب  $V_0$  من أجل المادتين الممتزتين ويكون حجم المسام المطلوب هو  $V_0(N_2) - V_0(C_6H_6)$ .

عدّل كاكنر طريقة دوبين وبحيث استطاع حساب المساحة السطحية النوعية للأجسام الميكرومسامية من المناخي الامتزازية، وركّز الانتباه على مجال الطبقة الأحادية أي المجال الذي يحقق علاقة هنري، وفرض أنّ:

$$\theta = \exp(-k_1 A^2) \quad (65-3)$$

حيث تمثل  $\theta = V/V_m$  الكسر من الطبقة الأحادية المغطى بالجزيئات الممتزة و  $k_1$  ثابت يميز التوزع الغوصي و  $A$  كمون الامتراز، وبالأخذ بالعلاقة (55-3) نحصل على ما يلي:

$$V = V_m \exp[-k_1(RT \ln P_0/P)^2]$$

ومنه ينتج:

$$\log V = \log V_m - D_1 \log^2 P_0/P \quad (66-3)$$

وهذه العلاقة هي علاقة DR ذاتها، وهنا يعتبر  $V_m = V_0$  أي إن حجم المسام الدقيقة بواحدة  $\text{ccSTP/g}$  تمثل سعة الطبقة الأحادية، ومنها يمكن حساب السطح النوعي للصلب  $S^K$  أو  $S^{\text{DR}}$  من العلاقة (44-3) والتي تكتب بالشكل التالي:

$$S^{\text{DR}} (\text{m}^2/\text{g}) = (V_m/22414) \text{ LA}_m \times 10^{-20}$$

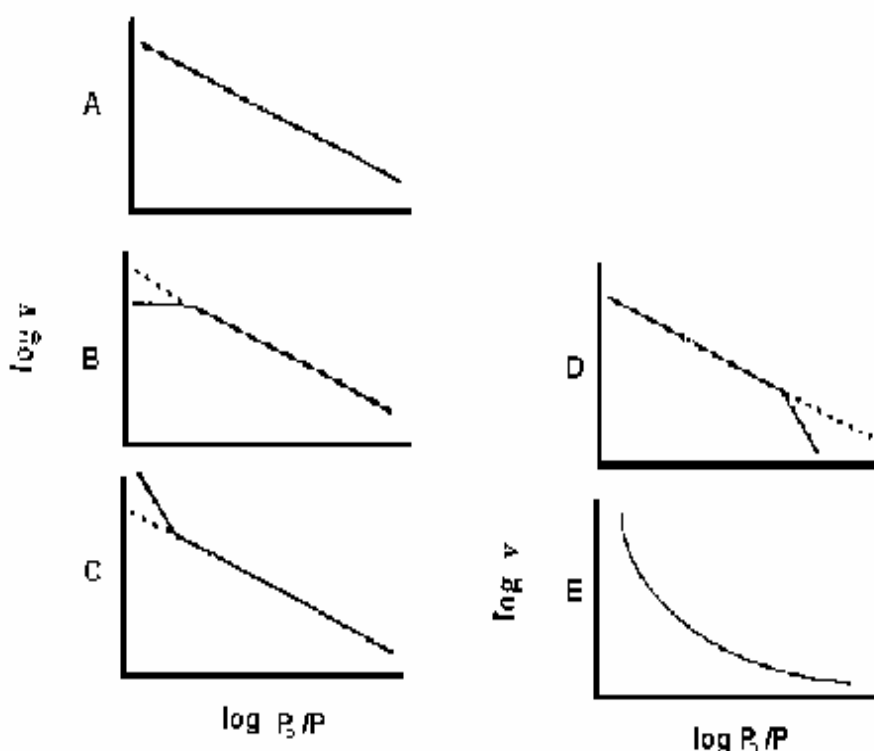
ويجب التأكيد على أن طريقة كاكرن قابلة للتطبيق عندما  $P/P_0 \leq 10^{-4}$ .

تعطي علاقة DR علاقة خطية تغطي، في حالة المواد المازة التي تبدي منحنيات امتراز من النموذج I، مجالاً واسعاً من الضغط النسبي، ولهذا استخدمت بنجاح كبير لحساب الحجم الكلي للمسام الدقيقة وخاصة لعينات الفحوم المختلفة. إلا أنه يحدث في بعض الأحيان انحراف عن العلاقة الخطية، صنف هذه الانحرافات كل من مارش وراند (Marsh & Rand, 1987) كما في الشكل (3-18).

**النموذج A:** لا يوجد أي انحراف عن الخطية، وهذا يدل على أن الامتراز يخضع لنظرية ملء المسام الدقيقة وبحيث تمثل المسام بشكل متتابع من الأضيق إلى الأوسع إلى أن تمثل المسام

$$\log^2 P_0/P = 0$$

**النموذج B:** يحدث في الفحوم دقة المسام، ويُظهر انحرافاً نحو الأسفل عند الضغوط المرتفعة مما يدل على غياب المسام الدقيقة الواسعة الحجم أو أن جميع توزع المسامية الدقيقة تمثل عند ضغط نسبي  $P/P_0 < 1$ .



الشكل (3-18) تصنيف الانحرافات عن علاقة DR وفقاً لمارش وراند.

**النموذج C:** يُظهر انحرافاً نحو الأعلى عند ضغوط نسبية عالية، أي إن الكمية الممترة تكون أعلى مما هو متوقع، وهذه يمكن أن تعود إلى امتلاء المسام فوق الدقيقة أو المسام الانتقالية أو حدوث امتزاز متعدد الطبقات على السطح غير المسامي، ويعطي امتداد الخط المستقيم حجم المسام الدقيقة.

**النموذج D:** يُظهر انحرافاً سلبياً عند الضغوط النسبية المنخفضة جداً، ويعود ذلك إلى الانشار المنشط أو تأثيرات المنخلة الجزيئية، أي إن المسام تكون دقيقة وضيقة جداً.

**النموذج E:** حيث يُظهر انحرافاً كاملاً عن الخطية، ويعود هذا إلى وجود مسام دقيقة ضيقة بالإضافة إلى مسام أخرى، أي هناك توزع حجوم مسام مختلط أو أن الامتزاز لا يكون في حالة توازن.

ترتبط الطاقة المميزة للامتزاز  $E_0$  مع أبعاد المسام الدقيقة، ولهذا وضعت عدة علاقات تجريبية توضح هذا الارتباط، ونذكر منها العلاقات التالية:

ستوكلي وباليرني	$L \text{ (nm)} = 10.8 / 2(E_0 - 11.4)$
ستوكلي	$L \text{ (nm)} = 16.5 / E_0$
دوبيان	$L \text{ (nm)} = k / E_0 ; k = 13.028 - 1.53 \times 10^{-5} E_0^{3.5}$

حيث تمثل  $L$  نصف عرض المسام. تكون قيم  $E_0$  من أجل المواد دقيقة المسام في المجال  $= E_0$   $15.0-33.0 \text{ kJ/mol}$  والتي توافق أنصاف عرض المسام الوسطي  $1.5 \text{ nm} - 0.6 \text{ nm}$ . تحسب مساحة المسام الدقيقة  $S_{\text{mic}}$  وذلك بافتراض أن المسام أسطوانية مفتوحة الطرفين أو ذات شكل شقي من العلاقة التالية:

$$S_{\text{mic}} \text{ (m}^2/\text{g}) = 2000V_0(\text{ml.l/g}) / L(\text{nm}) \quad (69-3)$$

### 10-3: معالجة التكافُف الشعري ترموديناميكياً:

#### Thermodynamic Treatment of Capillary Condensation

لنفترض سائلاً ضمن المسام في حالة توازن مع بخاره، فإذا انتقل  $dn$  مول من السائل خارج المسام ضغطه التوازي  $P_0$  إلى داخل المسام حيث الضغط التوازي  $P$  فإن ارتفاع الطاقة الحرية خلال هذه العملية  $dG$  يمكن اعتباره مؤلفاً من الخطوات الثلاث التالية:

أ- تبخر  $dn$  مول من السائل إلى بخار عند الضغط  $P_0$ ، وتكون الطاقة الحرية المرافقة هي  $.dG_1$ .

ب- تمدد  $dn$  مول من البخار من الضغط  $P_0$  إلى الضغط  $P$ ، وتكون الطاقة الحرية المرافقة هي  $.dG_2$ .

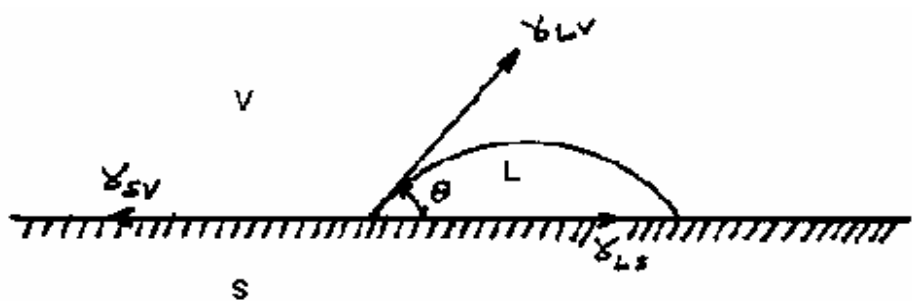
ج- تكافُف  $dn$  مول من البخار إلى سائل عند الضغط  $P$ ، وتكون الطاقة الحرية المرافقه هي  $.dG_3$ .

ومن ثم يكون:  $dG = dG_1 + dG_2 + dG_3$ ، حيث إنّ عمليتي التبخير والتكتيف تتم عند درجة حرارة وضغط ثابتين فإنّ  $dG_1 = 0$  و  $dG_3 = 0$ ، وكذلك تكون الطاقة الحرية المرافقه لعملية التمدد، الخطوة ب، هي أي إنّ:  $dG_2 = (dn) RT \ln P/P_0$

$$dG = dG_2 = (dn) RT \ln P/P_0 \quad (70-3)$$

عندما يتكافُف سائل في المسام فإنّ مساحة السطح البيني صلب/بخار يتناقص بالمقدار  $da$  ويزداد السطح البيني صلب/سائل بالمقدار ذاته، ويكون تغير الطاقة الحرية المرافق لهذه العملية هو:

$$dG = (\gamma_{SL} - \gamma_{SV})da \quad (71-3)$$



الشكل (19-3) يُبيّن قطرة من سائل متوازن على سطح صلب مستوٍ في جو من البخار.

ويمكن حساب الفرق  $(\gamma_{SL} - \gamma_{SV})$  من ملاحظة أنه إذا كان لدينا قطرة من سائل ممتزرة ومتوازنة على سطح صلب مستوي، فإن التوترات السطحية للأطوار الثلاثة تكون كما هو موضح في الشكل (19-3). ومنه نجد أنّ:

$$\gamma_{SV} - \gamma_{SL} = \gamma_{LV} \cos \theta \Rightarrow \gamma_{SV} = \gamma_{SL} + \gamma_{LV} \cos \theta \quad (72-3)$$

تعرف هذه العلاقة بعلاقة **يانغ - دوبري** (Young-Dupre Eq.)، وبالتعويض في العلاقة

(71-3) نحصل على ما يلي:

$$dG = -\gamma_{LV} \cos \theta (da) \quad (73)$$

وعند التوازن يكون  $dG = 0$  وبالتالي ينتج لدينا:

$$RT \ln \frac{P}{P_0} dn = -\gamma_{LV} \cos \theta (da) \quad (74-3)$$

ولكن  $\gamma_{LV}$  التوتر السطحي للسائل و  $dn = dV/V_m$  حيث تمثل  $V_m$  الحجم المولي للمادة الممتزرة في حالتها السائلة و  $dV$  الحجم المتكافُف من السائل، ونؤول العلاقة

(74-3) عندئذ إلى الشكل التالي:  $dV/V_m = -\gamma \cos \theta da$  وبالترتيب نحصل على ما يلي:

$$\frac{dV}{da} = -\frac{V_m \gamma \cos \theta}{RT \ln P / P_o} = \frac{V_m \gamma \cos \theta}{RT \ln P_o / P} \quad (75-3)$$

تعتبر هذه العلاقة العلاقة الأساسية في التكاثف الشعري، ومنها يمكن أن نستنتج ما يلي:

١- إذا كان السائل بـشكل قطرة فإنها تتخذ الشكل الكروي، ويكون حجمها  $V=4\pi r^3/3$  وسطتها  $a = 4\pi r^2$  حيث تمثل  $r$  نصف قطر قطرة، وعند تغير نصف قطرها  $dr$  يترافق ذلك بتغير في الحجم وقدره  $dV = 4\pi r^2 dr$  وتغير في السطح قدره  $da = 8\pi r dr$ ، ومن ثم يكون:  $r/2 = V_m \gamma \cos \theta / (r RT)$  إلى علاقه كيلفن التالية:

$$\ln P/P_o = -2V_m \gamma \cos \theta / (r RT) \quad (76-3)$$

يمثل  $r$  هنا نصف قطر المسام أو نصف قطر الأنابيب الشعري.

٢- إذا كانت المسام أسطوانية مفتوحة الطرفين، وبحيث يكون نصف قطر المسام  $r$  وطولها  $l$ ، فيكون حجمها  $V = \pi r^2 l$  وسطتها  $a = 2\pi r l$ ، وعندما يتکاثف السائل في هذا النوع من المسام فإن نصف قطر المسام الداخلي يتناقص بالمقدار  $dr$  ومن ثم فإن حجم المسام المتکاثف يساوي  $dV = 2\pi r l dr$  وتتناقص في الوقت عينه المساحة السطحية للسطح البيني سائل/بخار بالمقدار  $da = 2\pi l dr$ ، ومن ثم يكون:

$$dV/da = 2\pi r l dr / 2\pi l dr = r$$

وتؤول العلاقة (75-3) إلى علاقه كوهان (Cohan) التالية:

$$\ln P/P_o = -V_m \gamma \cos \theta / (r RT) \quad (77-3)$$

والتي تستخدم لتقسيم الاختلاف بين فرع الامتزاز وفرع المج.

٣- إذا كان سطح السائل منحنياً فإن هناك الضغط الزائد  $\Delta P$  الذي يقيس فرق الضغط بين جانبي السطح المنحني، وهذا الفرق يتعلق بالتوتر السطحي للسائل وأنصاف أقطار الانحناء، وكما وجدنا في الفقرة (2) فإنه يعطى بعلاقة يانغ - لابلس التالية:

$$\Delta P = \gamma \left( \frac{1}{r_1} + \frac{1}{r_2} \right) \quad (78-3)$$

والتي تستخدم لشرح التكاثف في الأنابيب الشعرية، يترافق  $\Delta P$  بين جانبي الهلال مع تغير الطاقة الحرية للسائل  $\Delta G$ ، وبما أن  $(\partial G / \partial P)_T = V_m$  الحجم المولى للسائل، ومن ثم يكون لدينا:

$$\Delta G = V_m \Delta P = V_m \gamma \left( \frac{1}{r_1} + \frac{1}{r_2} \right) \quad (79-3)$$

عندما يكون السطح منحنياً فإن السائل يكون في حالة توازن مع بخاره عند الضغط  $P$ ، كما في الحالة a من الشكل (3-19)، وعندما يكون السائل في سطح مستوي فإنه يتوازن مع بخاره عند الضغط  $P_0$ ، b من الشكل (3-19)، والتغير في الطاقة الحرية عند كل سطح منها عندما يحدث تبخير أو تكافث سوف يكون مساوياً للصفر. إن الفرق في الطاقة الحرية المولية بين السائل في a والسائل في b يكون مساوياً تغيير الطاقة الحرية للتباخير، أي إن  $\Delta G = RT \ln P_0/P$ ، وبالتعويض في العلاقة (3-79) نحصل على ما يلي:

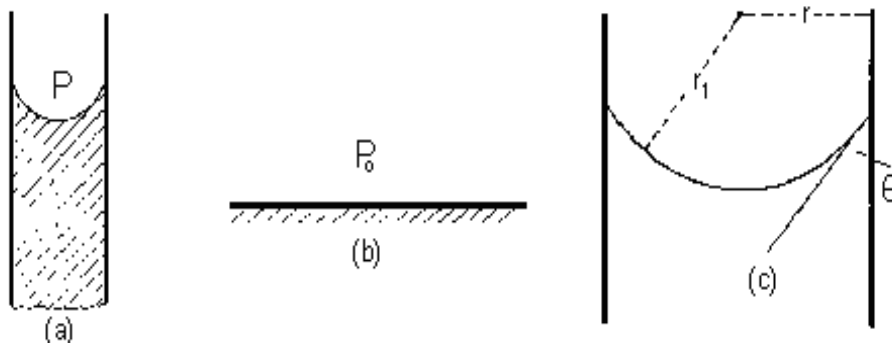
$$(80-3) RT \ln \frac{P_0}{P} = V_m \gamma \left( \frac{1}{r_1} + \frac{1}{r_2} \right)$$

- إذا كان سطح السائل في الأنابيب الشعرية (المسام) نصف كروي، أي  $r_1 = r_2 = r$ ، فإن العلاقة (3-80) تؤول إلى علاقة كيلفن عندما تكون زاوية التماس  $\theta = 0$ :

$$\ln P_0/P = 2V_m \gamma / r RT \quad (81-3)$$

ولكن عندما  $\theta \neq 0$ ، كما في الحالة c من الشكل (3-20)، فإن  $r = r_1 \cos \theta$ ، حيث  $r_1$  نصف قطر الانحناء و  $r$  نصف قطر الأنابيب أو المسام، عندئذ تؤول العلاقة (3-80) إلى الشكل التالي:

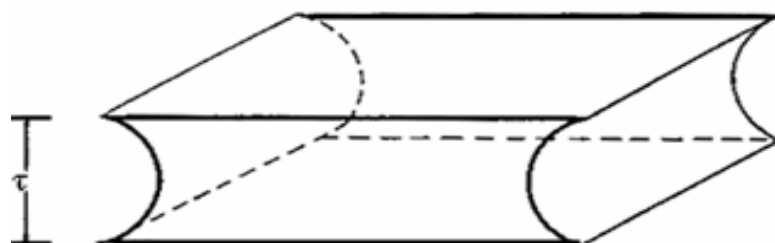
$$\ln P_0/P = 2V_m \gamma \cos \theta / r RT \quad (82-3)$$



الشكل (3-20) يُبيّن حالات توازن سائل مع بخاره.

- إذا حدث التكافث بين صفيحتين أو مستويين البعض بينهما  $\tau$ ، فإن  $r_1 = \infty$  و  $r_2 = \infty$  و  $\theta = 0$  (التبلل كامل)، الشكل (3-21)، العلاقة (3-80) تؤول إلى الشكل التالي:

$$\ln P_0/P = V_m \gamma / \tau RT \quad (83-3)$$

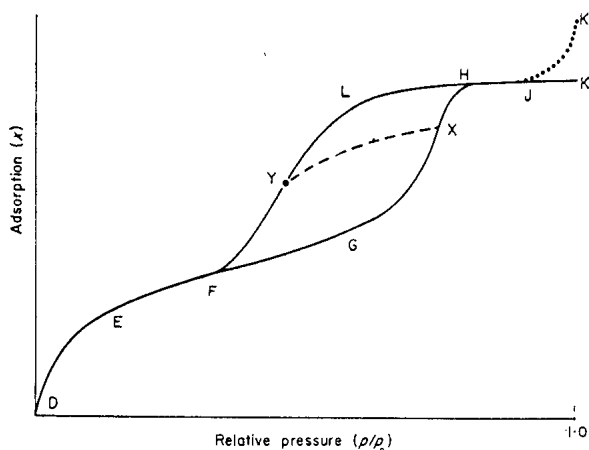


الشكل (3-21) يُبيّن التكافث بين سطحين مستويين.

### 11-3: منحنيات امتراز الغازات على الأجسام الصلبة المسامية:

#### The Adsorption Isotherms of Gases on Porous Solids:

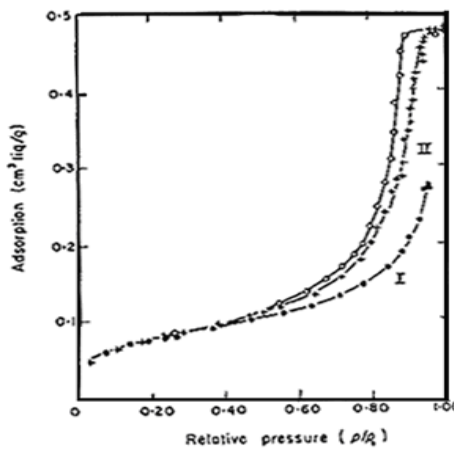
وجدنا أنه عندما يحدث امتراز الغازات على الأجسام غير المسامية فإن الامتراز يكون متعدد الطبقات، وتبني الطبقات عندما يتعرض سطح الماز إلى ضغط بخار مرتفع، وتكون سمامة الطبقة الممتدة غالباً غير محدودة السمامة، أي يحدث تكافاف سائلي عند الضغط الاشعاعي. إلا أنه عندما يكون الماز مسامياً (يمتلك سطحاً داخلياً) فإن سمامة الطبقة الممتدة تكون بالضرورة محدودة إلى عرض المسام، ويتعذر عندئذ منحني الامتراز ليصبح من النموذج IV عوضاً عن النموذج II ومن النموذج V عوضاً عن النموذج III. يكون النموذج IV شائعاً لامتراز الأبخرة على المواد الهلامية الجافة (xerogels) مثل السيليكا وأكسيد الحديد... الخ عندما تمتلك مساماً في مجال المسام الانتقالية. يمثل الشكل (22-3) منحني امتراز متساوي الدرجة من النموذج IV، وهو يتميز بما يلي:



الشكل (22-3) يمثل منحني امتراز من النموذج IV.

**1 - الفرع DEF عند الضغوط المنخفضة:** يماثل هذا الجزء منحني الامتراز من النوع II عند الضغوط المنخفضة، وهناك نقطة انعطاف، ويحدث خلاله امتلاء الطبقة الأحادية على جدران المسام، وتكون العملية في هذا الجزء عكوسية تماماً، وتكون نقطة امتلاء الطبقة الأحادية في موضع بين النقطتين E و F. تتطبق على هذا الجزء معالجة BET والطرق الأخرى المستخدمة لتعيين المساحة السطحية النوعية، وبما أن السطح في هذه الحالة يكون في الغالب داخلياً فإنه يتتألف من جدران المسام، وعندئذ لا يمكن تعين المساحة السطحية النوعية بالطرق المباشرة مثل الطرق الطيفية أو الإلكترونية. إلا أن هناك طرائق أخرى غير مباشرة تدعم بقية تطبيق طريقة BET والطرق الأخرى المستخدمة لتحديد السطح النوعي للأجسام الصلبة غير المسامية. يمكن تحويل منحني الامتراز من النموذج II في بعض الحالات إلى النموذج IV بتراسير الصلب (compacting) بالانضغاط، فمثلاً امتراز  $\text{CF}_2\text{Cl}_2$  على بودرة السيليكا ليند

وامتراز النتروجين (77K) على السيليكا ذات الجسيمات الكروية وامتراز الهاكسان على الفحم الأسود... الخ تعطي جميعها النموذج II أولاً ولكن بعد التراص تعطي النموذج IV، كما يتضح من الشكل (23-3)، وتبيّن جميع هذه الأمثلة أنّ الجزء الأول من المنحني عند الضغوط المنخفضة قبل وبعد التراص تكون متطابقة، وبالتالي فإنّا نستنتج النتيجة المهمة التالية: "يُوافق الفرع DEF للنموذج IV امتراز الطبقة الأحادية ويحدث بطريقة مماثلة لتي تحدث في الأجسام غير المسامية، فالتراص ينقص فقط الفجوات الداخلية بين الجسيمات إلى أن تصبح صغيرة بشكل كافٍ لحدوث التكاثف الشعري عند الضغوط النسبية المتوسطة". لذا تكون طريقة BET المطبقة على النموذج II لحساب السطح النوعي قابلة للتطبيق تماماً على النموذج IV.

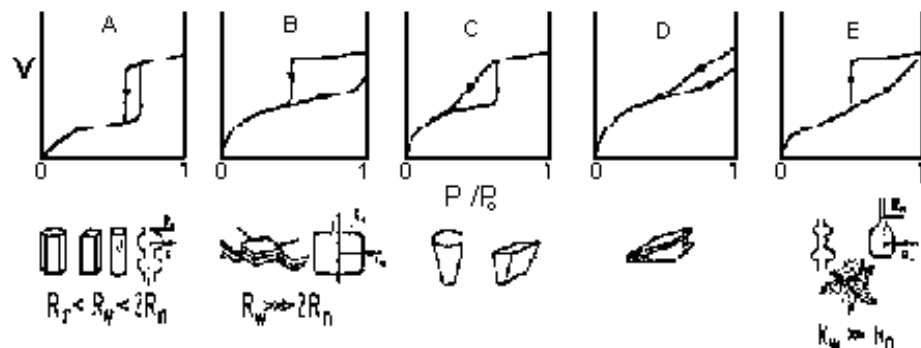


الشكل (23-3) يُبيّن امتراز النتروجين (77K) على السيليكا كروية الجسيمات.

I - بودرة، II - بعد التراص.

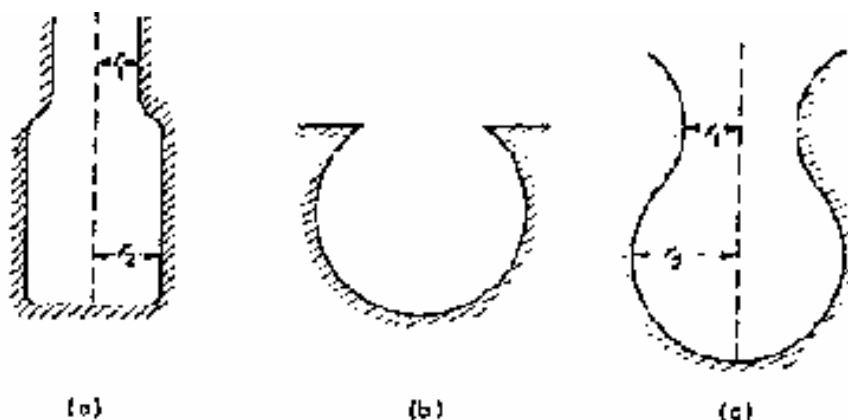
**2 - الفرع FGH (التكاثف الشعري):** تبدأ في هذا الجزء الطبقات المتعددة في البناء على جدران المسام. إذا كانت المسام ذات جدران متقابلة فإنّ الامتراز يحدث على كلا الجدارين وتناقص قوى التأثير المتبادل بين الصلب والبخار مع ازدياد المسافة عن السطح، وعندما تزداد السماكة على الجدران تقترب الغشاوة الممتزة على كلا الجدارين بعضها من بعض وينشأ تأثير متبادل بينها، ويحدث الشيء نفسه إذا كانت المسام أسطوانية، ومن ثم فإنّ الامتراز في المسام يكون مفضلاً أكثر من السطوح المستوية وستمتلئ المسام بالسائل عند ضغوط أقل من  $P_0$ ، أي يحدث تكاثف شعري. إذا كانت المسام مختلفة الأقطار، كما يصادف عملياً، فإنه عند ضغط معين ولتكن  $P$  ستمتلئ كافة المسام التي أنصاف قطراتها تساوي أو أقل من قيمة معينة ( $r$ ) والتي تحددها العلاقة (75-3) أو المشتقة منها، ويكون فرع التكاثف الشعري كما هو في الفرع من FGH الشكل (23-3). أما إذا كانت المسام جميعها متماثلة الأقطار وأسطوانية مفتوحة الطرفين فيكون فرع التكاثف الشعري شاقوليًّا كما في الشكل (A-24)، وإذا كانت المسام تنشأ عن صفائح متوازية أو شقوق أو عنق ضيق جداً فإنّ الفرع FGH يكون كما في الشكل (B-24)، وإذا

كانت المسام ذات عنق أضيق من جسم المسام كما في الشكل (3-25) فإن الفرع FGH يكون كما في الشكل (E-3-24)، أما إذا كانت المسام ذات فتحات أعرض من عمق المسام أو صفائحية متقطعة فإن الفرع FGH يكون كما في الشكل (3-24 C وD)، عندما تمتليء المسام تماماً بالسائل نصل إلى النقطة H.

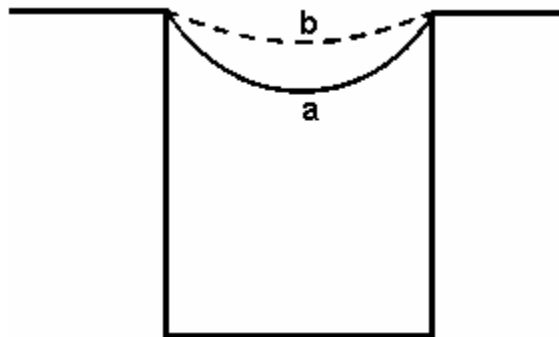


الشكل (3-24) يُبيّن تصنيف دٍ بور لشكل التكافُف الشعري والأنشوطه التخلفية تبعاً لنوع المسام.

**3 - الفرع HJK:** يحدث الامتياز في هذا الفرع على السطح الخارجي لجسم المسام، إذ تكون جميع المسام قد امتلأت بالسائل وبالتالي فإن هذا الفرع يزداد ببطء شديد وسيكون تقريباً بشكل موائر للمحور  $P/P_0$ ، وفي بعض الحالات يمكن أن يرتفع كما في الفرع HJK وعندئذٍ يحدث تكافُف سائل على سطوح حرة (غير مسامية). يعود الارتفاع الطفيف في الكمية الممتدة في الفرع HJK إلى امتلاء منحني المسام من الهلال من الوضع a إلى الوضع b في الشكل (3-26).



الشكل (3-25) يُبيّن المسام التي لها فتحة ضيقة. (a) مسام زجاجة الحبر، (b) و(c) ثقوب كروية.



الشكل (3-26) يُبيّن امتلاء المسام.

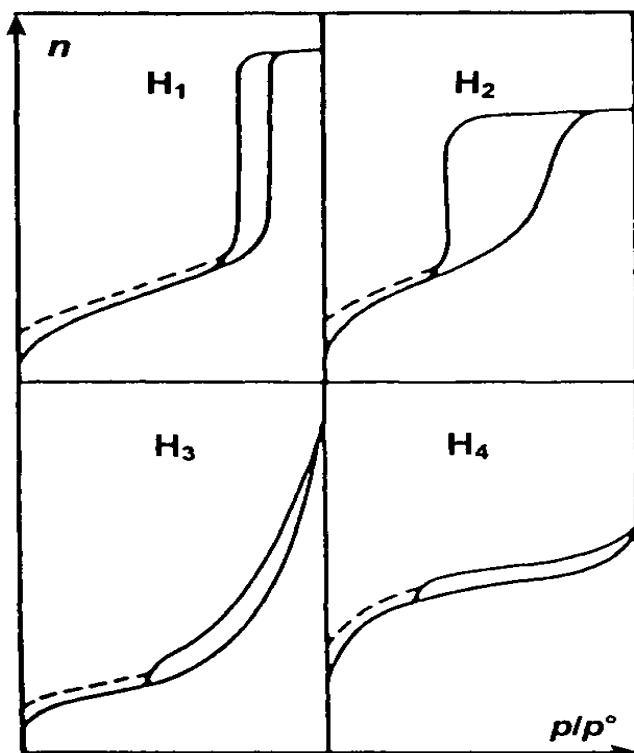
**4 - الأنشوطة التخلفية (hysteresis loop):** وهي ميزة هامة تتميز بها جميع منحنيات الامتزاز من النموذج IV، وبعد إجراء عملية الامتزاز والوصول إلى الضغط الشباعي أو بالقرب منه وعند إيقاف الضغط لإعطاء فرع الماج فإنه عند النقطة H، الشكل (3-22)، يبدأ المنحني بالانفتاح، أي لا يكون فرع الماج منطبقاً على فرع الامتزاز، إلى أن نصل إلى النقطة F حيث ينغلق المنحني من جديد وينتج معنا الفرع HLF، ونقول عندئذ بأنه تشكّلت الأنشوطة التخلفية. وهنا نلاحظ أنه من أجل كمية ممترّزة معينة (V) يكون هناك قيمتان للضغط النسبي إحداهما لفرع الامتزاز والثانية لفرع الماج وبحيث يكون دوماً  $P_a < P_0 < P_h$ . ومن الجدير التأكيد على أنّ الأنشوطة يمكن إعادةتها (reproducible)، أي إنّ النتائج ستكون ذاتها بشرط أن تكون قد وصلنا إلى نقطة أعلى من H. ولكن إذا وصلنا إلى نقطة أخفض من H مثل X فإنّ الأنشوطة ستتقلّص. يختلف شكل الأنشوطة التخلفية من ماز إلى آخر تبعاً لنوع المسام الموجودة فيه، كما يدل الشكل (3-24).

إنّ الأنشوطة التخلفية التي تظهر في مجال الامتزاز متعدد الطبقات في مناحي الامتزاز الفيزيائي تكون ناتجة عن التكاثف الشعري في المسام الانتقالية، وبين بور (1958) وسينج ورفاقه (1985) أنّ معظم المواد المازة ذات المسام الانتقالية تعطي أنشوطة تخلفية مختلفة ويمكن إعادةتها (reproducible) إذا وصلنا إلى نقطة امتلاء المسام. وتبعاً لقوانين термодинاميك فإنّ الكمية الممترّزة يتحكم بها الكمون الكيميائي للمادة الممترّزة، وبناءً عليه فإنّ فرع الأنشوطة لا يمكن كلاماً أن يحقق متطلبات العکوسية الترموديناميكية، ظهور الأنشوطة القابلة للاستعادة والثابتة يتضمن وجود حالات شبه مستقرة معرفة جيداً.

ظهرت عدة أشكال من الأنشوطة التخلفية للامتزاز الفيزيائي على الأجسام الصلبة الميّزوسمامية والتي صنفها دي بور كما ذكرنا سابقاً، إلا أنّ النماذج الأساسية للأنشوطة التخلفية والتي أعتمدت من قبل المؤتمر الدولي للكيمياء البحتة والتطبيقية عام 1985 هي التي وضعها سينج ورفاقه والتي تظهر في الشكل (3-27).

- النموذج  $H_1$  (والذي عرف أصلاً بالنماذج A في تصنيف دي بور) يتميز بأنشوطه ضيقة حادة وعالية ويكون فرعاً الامتراز والمج متوازية تقريباً، وهو يظهر عندما تكون المسام أسطوانية متماثلة المقطع ومفتوحة الطرفيين ويكون توزع حجم المسام ضيقاً للمسام المتماثلة.

- النموذج  $H_2$  (والذي يعرف سابقاً بالنماذج E) يكون واسعاً ويتميز بهضبة طويلة ومسطحة وبفرع مج حاد، وينتج لكثير من هلامات الأكسيد اللاعضوية، وتكون البنية المسامية معقدة وتتضمن شبكة مسامية متصلة ومختلفة الحجوم والأشكال.



الشكل (27-3) يُبيّن تصنيف أشكال الأنشوطة التخلفية تبعاً لسينغ ورفاقه (1985).

- النموذج  $H_3$  (وهو قريب من النموذج B) ينتج عن تجمع جسيمات صفيحية المسام أو عن مازات تحوي مسام شقية.

- النموذج  $H_4$  ينتج أيضاً عندما يحوي الماز على مسام شقية كما في حالة الفحم الفعال، ولكن توزع حجم المسام يكون عادةً في مجال المسام الدقيقة. ويتبين من الشكل أن النماذجين  $H_3$  و  $H_4$  لا تتغلق الأنشوطة فيما إلا عند الضغوط النسبية العالية والقريبة من الإشباع، ومن ثم فإنّ شكل فرع المج يعتمد على الضغط الأعظمي الذي يُبلغ قبل عملية المج.

تحدث عمليات التكافث الشعري والتخير (المج) من حيث المبدأ بصورة عكوسية في المسام متناظرة العرض (tapering pores)، وعند الضغوط النسبية المنخفضة تكون تراكيز المادة الممتدة معززة في النهاية الضيقة للمسام، أي هناك تأثير ملء المسام الدقيقة، كما في الشكل (28-3)، وعند ضغط نسبي معين يبدأ تشكل الهلال والذي يتحرك بصورة مستمرة نحو

مدخل المسام بازدياد الضغط النسبي. ويحدث التبخير (المج) باتجاه معاكس ولكن باتجاه معاكس وبحيث يتضمن الخطوات ذاتها، أي صورة المهلل، وبالتالي فإن جميع منحني الامتاز يكون عكوسياً.

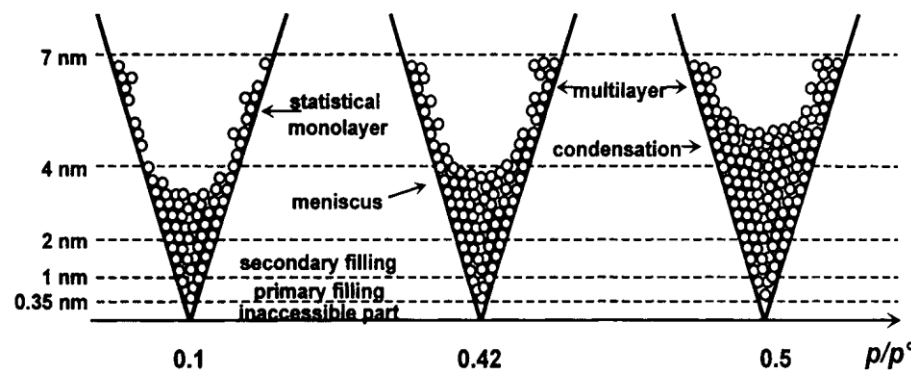
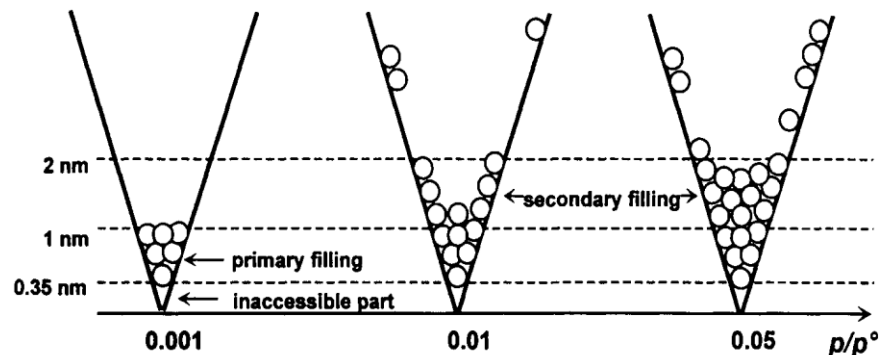
إن السؤال الذي يطرح نفسه هنا هو أية قيمة للضغط النسبي  $P_a/P_0$  أو  $P_d/P_0$  يجب تبديلها في العلاقة العامة (3-75)، أو في علاقة كيلفن (3-76)، لحساب قيمة  $r$  الموافقة لقيمة الامتاز المناسبة؟ حتى نجيب على هذا السؤال لا بد من إعطاء تفسير مقبول لشرح الفرق الواضح في حالة الممتز على طرفي الأشواطه. هناك تفسيرات كثيرة لشرح هذا الفرق وسنكتفي هنا بأهمها:

١- فرضية زجاجة البحر لكريمير وماكين (Kremer & McBain) وتبعاً لها تتصرف المسام بعنق ضيق بنصف قطر قدره  $r_1$  بينما نصف قطر جسم المسام يكون  $r_2$ ، كما في الشكل (3-25). يحدث التكافث على طول فرع الامتاز في جسم المسام أولاً عندما يكون:

$$P_2/P_0 = \exp(-2\gamma V/r_2 RT) \quad (84-3)$$

بينما في فرع المج لا يمكن أن يحدث التبخير عند الضغط  $P_2$  وذلك لأن عنق المسام عند هذا الضغط يكون ممتئاً ومسدوداً بهلال والذي يتاخر فقط عندما ينخفض الضغط إلى القيمة:

$$P_1/P_0 = \exp(-2\gamma V/r_1 RT) \quad (85-3)$$



الشكل (3-28) يُبيّن الخطوات الرئيسية لامتلاء المسام الدقيقة والميزو بشكل متتابع أثناء الامتاز.

وعندئذ ستترفرغ المسام كلها دفعه واحدة، وهكذا سيكون الضغط خلال الامتزاز أكبر منه في حالة المج وذلك من أجل كمية معينة ممتنزة، وتبعاً لهذه الفرضية يكون فرع الامتزاز هو الذي يمثل التوازن.

٢- فسر كوهان وغيره لأنشوطه التخلفية بدلالة أشكال الهلال المختلفة خلال الامتزاز والمج.  
يفترض على طول فرع الامتزاز أنّ الهلال ذو شكل أسطواني مفتوح الطرفين، الشكل (29-3-a)، ويكون عندها:

$$\ln P_a/P_0 = - \gamma V/rRT \quad (86-3)$$

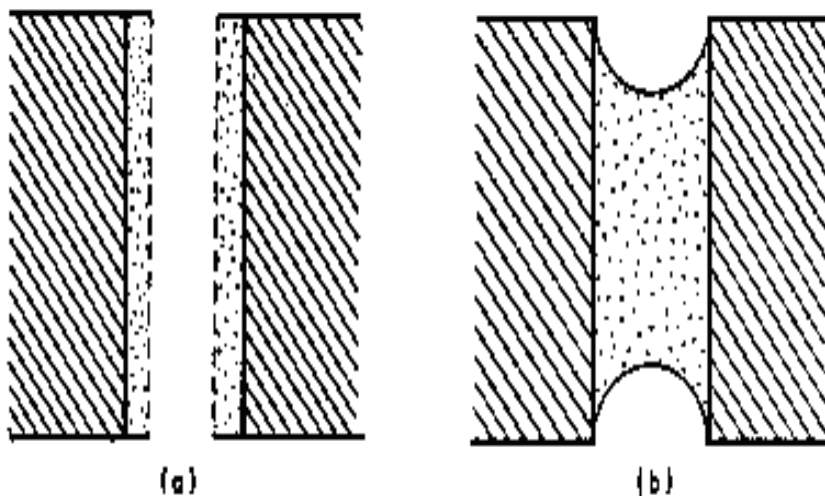
أما على طول المج فتفترض آلية كيلفن (الهلال نصف كروي)، الشكل (29-3-b) وعندها يكون:

$$\ln P_d/P_0 = - 2\gamma V/rRT \quad (87-3)$$

أي إنّ الامتزاز سيحدث عند ضغط أعلى من الضغط الذي يحدث عنده المج، ومن أجل قيمة محددة  $L_r$ . نحصل من العلاقات (86-3) و(87-3) على ما يلي:

$$(P_a/P_0)^2 = (P_d/P_0) \quad (88-3)$$

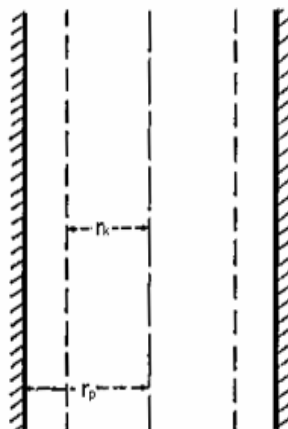
وهذا ما وجد تجريبياً في أغلب الأحيان. تعود الانحرافات إلى الاختلاف في شكل المسام عن الشكل الأسطواني. وسع كوهان فرضيته على المسام المغلقة وفرض أنّ الهلال الأسطواني سوف يتشكل على العنق خلال الامتزاز عند ضغط نسبي يعطى بالعلاقة (86-3) وأنّ جسم المسام سوف يمتلئ عند ضغط أعلى يعطى بعلاقة كيلفن.



الشكل (29-3) يوضح فرضية كوهان لأنشوطه التخلفية.

قبل حدوث التكافث الشعري، في أي نوع من المسام، هناك طبقة ممتنزة على جدران المسام، ومن ثم فإنّه عند حدوث تبخير السائل المتكافث في المسام فإنّ هذه الطبقة الممتنزة ستبقى على جدران المسام وبالتالي سينطبق فرع الامتزاز على فرع المج عند النقطة F.

**٣- فرضية فوستر (Foster):** أثناء عملية الامتراز (الفرع FGH) يبدأ الامتراز متعدد الطبقات على جدران كل مسامة وفي النهاية ستبلغ سطحها، وعندما يحدث ذلك في جميع المسام نصل إلى النقطة H على منحني الامتراز، وتكون جميع المسام ممتلئة بالممتر بشكله السائل. عندما يحدث المجرف فإن التبخير يتم على سائل من هلال كروي، ويعطى الضغط التوازني علاقة كيلفن، بينما يمكن حساب الضغط، ليس بالضرورة صحيحاً، من الامتراز متعدد الطبقات (معادلة BET). وتبعاً لهذه الفرضية تنشأ الأشوطية التخلفية عن تأثر تشكل الهلال. في الحقيقة فإنه حالما يصل نصف القطر الفعال للاسطوانة الداخلية القيمة  $r_k$ ، كما في الشكل (30-3)، والتي تحسب من علاقة كيلفن، تصبح الغشاوة الممتدة غير ثابتة ترموديناميكياً بالنسبة للكائف الشعري، والغشاوة مع ذلك توجد بحالة شبه مستقرة، طالما أنّ نوى الطور السائل نفسها غير موجودة في المسام، ومباعدة عندما يتلاقص  $r_k$  بازدياد الضغط النسبي تمتلئ المسام بالسائل لحدوث الكائف الشعري حتى نصل إلى النقطة H، وسيتشكل في كل مسامة سائل مع هلاله، وأثناء المجرف سيحدث التبخر الشعري من الهلال.



الشكل (30-3) يُبيّن أسطوانة شعيرية نصف قطرها  $r_p$ .

بما أنّ الضغط النسبي المُوافق لامتراز معين يكون أخفض في فرع المجرف منه في فرع الامتراز فإنه من الوجهة الترموديناميكية سيكون الكمون الكيميائي للممتر أخفض في فرع المجرف منه في فرع الامتراز ومن ثم فإنّ فرع المجرف يكون موافقاً أكثر لحالة التوازن الحقيقي للجملة.

### ١٢-٣: توزيع حجم المسام: Pore Size Distribution

يمكن تقدير توزيع حجم المسام في صلب ومن ثم تعين نصف قطر المسام الغالب بطريقتين هامتين، الأولى باستخدام مقياس المسامية الزئبقي والثانية باستخدام البيانات الامترازية وخاصة لفرع المجرف.

تمارين:

- 1- انجز عليا وریاح امتراز النتروجين عند الدرجة 77K على الحفاز 5SA-550 فحصل على النتائج التالية:

P/Po	V(ccSTP/g)	P/Po	V(ccSTP/g)	P/Po	V(ccSTP/g)
0.0051	36.424	0.2503	75.764		Desorption
0.0101	40.162	0.3003	81.463	0.9218	308.346
0.0201	44.784	0.3504	87.550	0.8756	307.327
0.0401	49.961	0.4003	94.302	0.8206	306.335
0.0602	53.540	0.5003	111.258	0.7806	305.203
0.0802	56.498	0.6004	139.184	0.7206	303.436
0.1003	59.113	0.7004	192.469	0.6506	199.556
0.1204	61.498	0.8007	293.920	0.5507	124.293
0.1503	64.892	0.8504	306.069	0.4506	101.284
0.1703	67.074	0.9006	307.600	0.3506	86.094
0.2003	70.328	0.9504	308.725	0.2806	77.429

ارسم منحني الامتراز الكامل ورسومات  $V-t$  و  $\alpha_s$ -V واحسب  $S_{BET}$  و  $S_t$  و  $S_0$  ونناقش النتائج.  
واحسب توزع حجم المسام.

- 2- انجز عليا وریاح امتراز النتروجين عند الدرجة 77K على الحفاز 20SA-550 فحصل على النتائج التالية:

P/Po	V(ccSTP/g)	P/Po	V(ccSTP/g)	P/Po	V(ccSTP/g)
0.0051	37.556	0.2503	77.708		Desorption
0.0101	41.367	0.3003	83.515	0.9218	272.219
0.0201	46.110	0.3504	89.990	0.8756	271.108
0.0401	51.321	0.4003	96.749	0.8206	269.336
0.0602	54.999	0.5003	113.258	0.7806	267.236
0.0802	57.950	0.6004	138.856	0.7206	254.453
0.1003	60.577	0.7004	187.269	0.6506	208.381
0.1204	63.071	0.8007	243.933	0.5507	136.563
0.1503	66.564	0.8504	264.674	0.4506	106.830
0.1703	68.836	0.9006	270.010	0.3506	90.165
0.2003	72.172	0.9504	272.371	0.2806	81.291

ارسم منحني الامتراز الكامل ورسومات  $V-t$  و  $\alpha_s$ -V واحسب  $S_{BET}$  و  $S_t$  و  $S_0$  ونناقش النتائج.  
واحسب توزع حجم المسام.

- 3- وجد عليا وریاح عند إجراء امتراز النتروجين عند الدرجة 77K على حفاز هلام أكسيد القصدير المعالج عند الدرجة 473K فحصل على النتائج التالية:

P/Po	V(ccSTP/g)	P/Po	V(ccSTP/g)	P/Po	V(ccSTP/g)
0.0051	24.190	0.2503	47.731		Desorption
0.0101	27.114	0.3003	49.073	0.9218	51.961
0.0201	30.308	0.3504	50.053	0.8756	51.938
0.0401	34.133	0.4003	50.702	0.8206	51.902
0.0602	36.790	0.5003	51.373	0.7806	51.847
0.0802	38.910	0.6004	51.648	0.7206	51.801
0.1003	40.600	0.7004	51.803	0.6506	51.756
0.1204	41.973	0.8007	51.866	0.5507	51.669
0.1503	43.671	0.8504	51.909	0.4506	51.448
0.1703	44.672	0.9006	51.945	0.3506	50.181
0.2003	45.971	0.9504	51.965	0.2806	48.713

ارسم منحني الامتياز الكامل ورسومات V-t و  $S_{BET}$  و  $S_a$  و  $S_t$  وناقش النتائج.

واحسب  $V_0$  وفقاً لعلاقة DR ثم  $S^{RD}$  وقارنها مع  $S_a$  و  $S_t$  و  $S_{BET}$ .



A to Z مكتبة